

Скорость убывания интенсивности в прожекторной зоне при нелинейном распространении выше, чем в линейном случае. Это объясняется следующим: дифракция низких частот существенно сильнее дифракции высокочастотной области спектра. Нелинейность процесса вызывает растекание энергии по всему спектру, и, следовательно, часть энергии переходит в низкочастотную область. Эта энергия практически мгновенно дифрагирует, т. е. появляется дополнительный канал низкочастотных потерь.

При  $N < 0,33$  (рис. 4) максимум спектра смещается не вправо, как это происходит в линейном и слабонелинейном случаях, а влево, в сторону низких частот. Продолжая интерпретировать характер эволюции спектра конкуренцией дифракции и нелинейной генерации, это изменение объясним превышением перекачки энергии в низкочастотную область спектра над соответствующими дифракционными потерями.

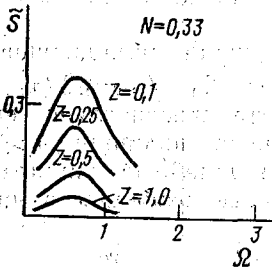


Рис. 3

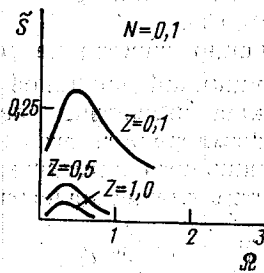


Рис. 4

Существует два возможных сценария окончания нелинейной фазы распространения пучков при сильной начальной нелинейности процесса ( $N < 0,33$ ). Если пучок переходит в область сферической дифракции до того, как убывание интенсивности ограничит нелинейное растекание энергии по спектру, то произойдет стабилизация положения спектра на оси частот ( $z \geq 1$  на рис. 4). В противном случае будет наблюдаться изменение направления частотного «дрейфа» и спектр будет сдвигаться в высокочастотную область, пока не будет остановлен наступлением сферической дифракции.

СПИСОК ЛИТЕРАТУРЫ

[1] Бахвалов Н. С., Жилейкин Я. М., Заболотская Е. А. Нелинейная теория звуковых пучков. М., 1982. [2] Васильева О. А., Карабутов А. А., Лапшин Е. А., Руденко О. В. Взаимодействие одномерных волн в средах без дисперсии. М., 1983. [3] Лapidус Ю. Р., Руденко О. В. // Акуст. журн. 1984. 30, № 6. С. 797—802.

Поступила в редакцию  
03.10.85

ВЕСТН. МОСК. УН-ТА. СЕР. 3, ФИЗИКА. АСТРОНОМИЯ. 1986. Т. 27, № 6

УДК 53:51

### ОБРАТНАЯ ЗАДАЧА РАССЕЯНИЯ ДЛЯ ТВЕРДОГО ТЕЛА В БОРНОВСКОМ ПРИБЛИЖЕНИИ

В. А. Буров, Т. А. Тихонова

(кафедра акустики)

Решение обратной задачи рассеяния для твердого тела представляет большой интерес прежде всего для дефектоскопии. Методы обработки данных о рассеянии акустических волн на неоднородностях в твердом теле, разработанные на основе решения обратной задачи рас-

сеяния, должны позволить преодолеть многие проблемы, связанные с определением внутренней структуры твердого тела. В настоящей работе будет рассмотрена обратная задача рассеяния звука на слабых неоднородностях в изотропной упругой среде.

Волновое уравнение для упругих изотропных сред имеет вид [1]

$$[(\lambda(x) + \mu(x)) \nabla \nabla + \mu(x) \nabla^2] \mathbf{u}(x, \omega) + \rho(x) \omega^2 \mathbf{u}(x, \omega) = -\rho(x) \mathbf{f}(x, \omega), \quad (1)$$

где  $\rho(x)$  — плотность среды,  $\lambda(x)$ ,  $\mu(x)$  — параметры Ламе,  $\mathbf{f}(x, \omega)$  — функция, описывающая источники излучения,  $\mathbf{u}(x, \omega)$  — векторное звуковое поле,  $\omega$  — циклическая частота. В уравнение (1) входят три, вообще говоря, зависящих от координат параметра, описывающих свойства среды. Под обратной задачей рассеяния в этом случае понимается определение этих параметров по замеренному рассеянному полю в некоторой совокупности экспериментов.

В этой работе мы ограничимся рассмотрением рассеяния на неоднородности среды плоских волн. Причем рассеянное поле будет регистрироваться в дальней зоне. Будем считать, что приемники излучения позволяют определять выбранную компоненту смещения в любом направлении, определяемом углами  $\theta$  и  $\varphi$  (рис. 1), т. е. мы будем регистрировать в дальней зоне плоские (продольные либо поперечные) рассеянные волны. Такую схему измерений трудно осуществить в реальном эксперименте, однако, разложив по плоским волнам первичные поля и поле смещений, замеренное на некоторой поверхности, мы приходим к описанному выше случаю. Такая схема эксперимента является в сущности дифракционной томографией для твердого тела [2—4]. Реализация такого эксперимента может оказаться полезной для определения слабых изменений параметров упругой среды, вызванных, например, внутренними напряжениями, усталостью металла и т. п.

В настоящей работе предложен один из возможных способов обработки данных эксперимента по рассеянию звука на слабых неоднородностях в твердом теле с целью получения информации о неоднородных параметрах  $\rho(x)$ ,  $\lambda(x)$ ,  $\mu(x)$  упругой среды и указано, при каких условиях эти параметры можно разрешить.

Запишем уравнение (1) в тензорной форме [1]:

$$\partial_i (\Gamma_{ijkl} \partial_k u_l) + \rho \omega^2 u_j = -\rho f_j, \quad i, j, k, l = 1, 2, 3, \quad (2)$$

где  $\Gamma_{ijkl}$  — тензор упругости. Для изотропной среды  $\Gamma_{ijkl} = \lambda \delta_{ij} \delta_{kl} + \mu (\delta_{ik} \delta_{jl} + \delta_{il} \delta_{kj})$ . Представим полное поле  $u_j(x)$  как сумму падающего  $u_j^0(x)$  и рассеянного  $u_j^{sc}(x)$  полей:

$$u_j(x) = u_j^{sc}(x) + u_j^0(x), \quad (3)$$

а неоднородность среды в виде

$$\Gamma_{ijkl}(x) = \Gamma_{ijkl}^0 + \Delta \Gamma_{ijkl}(x); \quad \rho(x) = \rho^0 + \Delta \rho(x), \quad (4)$$

где  $\Gamma_{ijkl}^0$  и  $\rho^0$  соответствуют однородной среде. Будем считать, что источников в области рассеяния нет:  $f_j(x) = 0, \forall x \in \mathcal{R}$ , где  $\mathcal{R} \subset R_3$  — об-

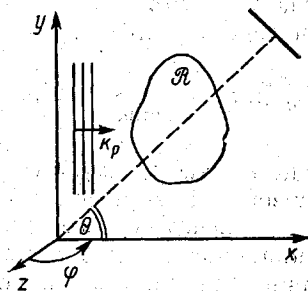


Рис. 1. Схема эксперимента по рассеянию плоских волн на неоднородности в твердом теле ( $k_p$  — волновой вектор падающей волны,  $\mathcal{R}$  — область рассеяния)

ласть, содержащая рассеиватели звука. Тогда из уравнения (2) получим следующие два уравнения:

$$\Gamma_{jklm}^0 \partial_k \partial_l u_m^0(\mathbf{x}) + \rho^0 \omega^2 u_j^0(\mathbf{x}) = -\rho^0 f_j(\mathbf{x}), \quad \mathbf{x} \in \mathcal{R}; \quad (5)$$

$$\Gamma_{jklm}^0 \partial_k \partial_l u_m^s(\mathbf{x}) + \rho^0 \omega^2 u_j^s(\mathbf{x}) = -\rho^0 q_j(\mathbf{x}), \quad j, k, l, m = 1, 2, 3, \quad (6)$$

где

$$\rho^0 q_j(\mathbf{x}) = \begin{cases} \partial_k \{ \Delta \Gamma_{jklm}(\mathbf{x}) [\partial_l u_m(\mathbf{x})] \} + \Delta \rho(\mathbf{x}) \omega^2 u_j(\mathbf{x}), & \mathbf{x} \in \mathcal{R}; \\ 0, & \mathbf{x} \in \mathcal{R}. \end{cases} \quad (7)$$

Запишем уравнение (6) в интегральной форме:

$$u_j^{sc}(\mathbf{x}) = \rho^0 \int_{\mathcal{R}} q_k(\mathbf{x}') G_{kj}^0(\mathbf{x}/\mathbf{x}') d\mathbf{x}', \quad (8)$$

где  $G_{kj}^0(\mathbf{x}/\mathbf{x}')$  — тензор смещения Грина для однородной упругой среды, который является решением уравнения

$$[(\lambda + \mu) \nabla \nabla + \mu \nabla^2] G^0(\mathbf{x}/\mathbf{x}') + \rho \omega^2 G^0(\mathbf{x}/\mathbf{x}') = -\delta(\mathbf{x} - \mathbf{x}') I, \quad (9)$$

где  $I$  — единичный тензор,  $\mathbf{x}$  — точка наблюдения,  $\mathbf{x}'$  — координаты источника. Для неограниченной области [1]:

$$G_{kj}(\mathbf{x}/\mathbf{x}') = \frac{1}{4\pi\rho\omega^2} \left[ \delta_{kj} k_s^2 \frac{\exp(ik_s r)}{r} - \frac{\partial}{\partial x_k} \frac{\partial}{\partial x_j} \left( \frac{\exp(ik_p r)}{r} - \frac{\exp(ik_s r)}{r} \right) \right], \quad (10)$$

где  $k_s^2 = \omega^2/c_s^2$ ,  $k_p^2 = \omega^2/c_p^2$  ( $c_s$ ,  $c_p$  — скорость распространения соответственно поперечной и продольной волн),  $r = |\mathbf{x} - \mathbf{x}'|$ ,  $j, k = 1, 2, 3$ .

Поскольку мы рассматриваем рассеяние звука на слабых неоднородностях среды, то можно считать, что поле в области рассеяния равно падающему полю  $u_j^0(\mathbf{x})$ , т. е. мы переходим к борновскому приближению в рассмотрении обратной задачи рассеяния. Уравнение (8) в этом случае примет вид

$$u_j^{sc}(\mathbf{x}) = \rho_0 \int_{\mathcal{R}} G_{nj}(\mathbf{x}/\mathbf{x}') \{ \partial_i [\Delta \Gamma_{nilm}(\mathbf{x}') (\partial_l u_m^0(\mathbf{x}'))] + \Delta \rho(\mathbf{x}') \omega^2 u_n^0(\mathbf{x}') \} d\mathbf{x}'. \quad (11)$$

Перейдем в левой и правой части (11) к фурье-образам, т. е. будем рассматривать задачу в  $\mathbf{k}$ -пространстве:

$$\tilde{u}_j^{sc}(\mathbf{k}) = \rho^0 \tilde{G}_{nj}(\mathbf{k}) \left[ k_l \int \Delta \tilde{\Gamma}_{nilm}(\mathbf{k} - \mathbf{k}') k_l \tilde{u}_m^0(\mathbf{k}') d\mathbf{k}' + \omega^2 \int \Delta \tilde{\rho}(\mathbf{k} - \mathbf{k}') \tilde{u}_n^0(\mathbf{k}') d\mathbf{k}' \right], \quad (12)$$

где  $i, j, n, l, m = 1, 2, 3$ , а волнистая черта над символом означает фурье-преобразование соответствующей функции. Фурье-преобразование тензора Грина имеет вид [5]

$$\tilde{G}_{nj}(\mathbf{k}) = \frac{1}{4\pi\rho_0\omega^2} \left\{ P \left[ \frac{\delta_{nj} k_s^2 - k_n k_j}{k^2 - k_s^2} + \frac{k_n k_j}{k^2 - k_p^2} \right] + \right. \\ \left. + \frac{i\pi}{2|k|} [(\delta_{nj} k_s^2 - k_n k_j) (\delta(|k| - k_s) - \delta(|k| + k_s)) + k_n k_j (\delta(|k| - k_p) - \delta(|k| + k_p))] \right\}, \quad (13)$$

где  $P$  — главное значение, а  $|\cdot|$  — модуль вектора.

Физически это означает, что в дальней зоне рассеянное на неоднородностях среды поле  $u_j^{sc}(\mathbf{x})$  «несет» информацию о тех фурье-точках векторнозначного фурье-образа вторичных источников  $I_n(\mathbf{k})$ , возбуждаемых падающим полем  $u_n^0(\mathbf{x})$  в области рассеяния  $\mathcal{R}$ , которые лежат на сферах  $k^2 = k_p^2$  и  $k^2 = k_s^2$  (соответственно продольная и поперечные компоненты рассеянного поля в дальней зоне) (рис. 2). Для каждого направления наблюдения в дальней зоне мы можем получить информацию о точках 1 и 2 векторнозначного фурье-образа вторичных источников  $I_n(\mathbf{k})$ , измерив соответственно продольную и поперечную компоненты вектора смещений в плоскости, перпендикулярной выбранному направлению  $\mathbf{k}$ .

Распространение поперечной составляющей рассеянного поля в дальнюю зону описывается уравнением

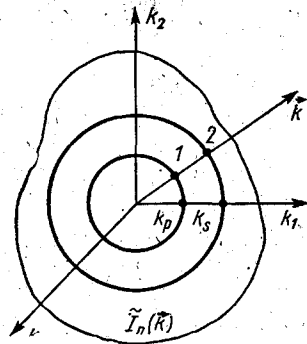


Рис. 2. Фурье-образ вторичных источников  $I_n(\mathbf{k})$ , лежащих на сферах Эвальда

$$(u_j^{sc})_s(\mathbf{k}) = \frac{\rho_0 \pi}{2|\mathbf{k}|} [(\delta_{nj} k_s^2 - k_n k_j) \delta(|\mathbf{k}| - k_s)] \left\{ k_i \int \Delta \tilde{\Gamma}_{nilm}(\mathbf{k} - \mathbf{k}') k_i' \tilde{u}_m^0(\mathbf{k}') dk' + \omega^2 \int \Delta \tilde{\rho}(\mathbf{k} - \mathbf{k}') \tilde{u}_n^0(\mathbf{k}') dk' \right\}, \quad (14)$$

а продольной составляющей —

$$(u_j^{sc})_p(\mathbf{k}) = \frac{\rho_0 \pi}{2|\mathbf{k}|} [k_n k_j \delta(|\mathbf{k}| - k_p)] \left\{ k_i \int \Delta \tilde{\Gamma}_{nilm}(\mathbf{k} - \mathbf{k}') k_i' \tilde{u}_m^0(\mathbf{k}') dk' + \omega^2 \int \Delta \tilde{\rho}(\mathbf{k} - \mathbf{k}') \tilde{u}_n^0(\mathbf{k}') dk' \right\}. \quad (15)$$

В выражениях (14) и (15) в фигурных скобках содержится векторнозначный фурье-образ вторичных источников  $I_n(\mathbf{k})$ . Эта функция зависит от параметров среды  $\Delta\lambda(\mathbf{x})$ ,  $\Delta\mu(\mathbf{x})$ ,  $\Delta\rho(\mathbf{x})$ . Поэтому, чтобы определить эти параметры, мы должны решить системы линейных уравнений (14) и (15), матрицами которых являются выражения, заключенные в квадратные скобки, относительно неизвестных компонент вектора  $I_n(\mathbf{k})$ . Очевидно, что, измеряя только одну составляющую вектора смещений рассеянного поля в дальней зоне (либо продольную, либо любую из поперечных), решить уравнения (14) и (15) относительно  $I_n(\mathbf{k})$ , а следовательно, и относительно  $\Delta\lambda$ ,  $\Delta\mu$ ,  $\Delta\rho$  нельзя, так как определители матриц  $\det\|k_n k_j\|$  и  $\det\|\delta_{nj} k_s^2 - k_n k_j\|$  равны нулю.

То же самое можно сказать об использовании в качестве облучающего поля лишь одной плоской (продольной или поперечной) волны. Допустим, мы решили системы (14) и (15) относительно  $I_n(\mathbf{k})$ . Далее нам следует решить систему уравнений вида

$$I_n(\mathbf{k}) = I_n(\bar{\mathbf{k}}, \Delta\tilde{\lambda}, \Delta\tilde{\mu}, \Delta\tilde{\rho}) \quad (16)$$

относительно параметров неоднородности среды  $\Delta\tilde{\lambda}$ ,  $\Delta\tilde{\mu}$ ,  $\Delta\tilde{\rho}$ . После подстановки в уравнения (16) выражений для плоской (продольной или поперечной) волны в качестве облучающего поля  $\tilde{u}_j^0(\mathbf{k})$  получится система из трех уравнений относительно  $\Delta\tilde{\lambda}(\mathbf{k})$ ,  $\Delta\tilde{\mu}(\mathbf{k})$ ,  $\Delta\tilde{\rho}(\mathbf{k})$ , определитель которой равен нулю.

Анализ выражений (14) и (15) показывает, что определить значения  $\Delta\tilde{\lambda}(k)$ ,  $\Delta\tilde{\mu}(k)$ ,  $\Delta\tilde{\rho}(k)$ , описывающие рассеивающую неоднородность упругой среды, можно, проводя два эксперимента, а именно: 1) облучающее поле — плоская продольная волна с частотой  $\omega_1$ , измеряется продольная составляющая рассеянного поля; 2) облучающее поле — плоская поперечная волна с частотой  $\omega_2$ , регистрируется поперечная составляющая рассеянного поля с той же поляризацией, что и у облучающей волны\*. Частоты  $\omega_1$  и  $\omega_2$  должны удовлетворять соотношению  $\omega_1/c_p = \omega_2/c_s$  (рис. 3). Результаты этих экспериментов обрабатываются совместно. Полученный результат можно проиллюстрировать следующим образом. Для каждого направления наблюдения  $k$  в уравнениях (14) и (15) входят значения фурье-образов функций  $\Delta\tilde{\lambda}(k)$ ,  $\Delta\tilde{\mu}(k)$ ,  $\Delta\tilde{\rho}(k)$  в некоторой точке фурье-пространства, которая определяется частотой, типом и направлением падения облучающей волны, а также положением сферы Эвальда ( $k^p = k_s^2$  или  $k^s = k_p^2$ ), которая соответствует измеряемой компоненте рассеянного поля. Система уравнений, полученная в результате проведения двух экспериментов по рассеянию звукового поля на неоднородности среды, будет иметь однозначное решение относительно  $\Delta\tilde{\lambda}(k)$ ,  $\Delta\tilde{\mu}(k)$ ,  $\Delta\tilde{\rho}(k)$  только в том случае, если выбором частот  $\omega_1$  и  $\omega_2$  облучающего поля мы совместим сферы Эвальда, соответствующие двум экспериментам.

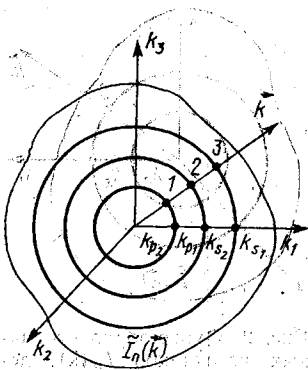


Рис. 3. Совмещение двух сфер Эвальда  $k^2 = k_p^2$  и  $k^2 = k_s^2$  при соответствующем выборе частот облучающего поля

Система уравнений, получающаяся в результате проведения таких экспериментов, имеет вид

$$\begin{aligned} (\tilde{u}_1^{sc})_L &= \frac{4\rho_0\pi}{21k_0|\omega_1|} [\Delta\tilde{\lambda}k_0^4 \cos\theta \sin\varphi + 2\Delta\tilde{\mu}k_0^4 \cos^2\theta \sin^2\varphi + \Delta\tilde{\rho}\omega_1^2 k_0^2 \cos^2\theta \sin^2\varphi]; \\ (\tilde{u}_2^{sc})_L &= \frac{4\rho_0\pi}{21k_0|\omega_2|} [\Delta\tilde{\lambda}k_0^4 \cos\theta \cos\varphi + 2\Delta\tilde{\mu}k_0^4 \cos^2\theta \sin^2\varphi \cos\varphi + \\ &+ \Delta\tilde{\rho}\omega_2^2 k_0^2 \cos^2\theta \sin\varphi \cos\varphi]; \\ (\tilde{u}_3^{sc})_L &= \frac{4\rho_0\pi}{21k_0|\omega_1|} [\Delta\tilde{\lambda}k_0^4 \sin\theta + 2\Delta\tilde{\mu}k_0^4 \cos^2\theta \sin\theta \sin^2\varphi + \Delta\tilde{\rho}\omega_1^2 k_0^2 \cos\theta \sin\theta \sin\varphi]; \\ (\tilde{u}_4^{sc})_T &= \frac{4\rho_0\pi}{21k_0|\omega_2|} [\Delta\tilde{\mu}k_0^4 \cos\theta \cos\varphi (k_0^2 - 2k_0^2 \cos^2\theta \sin^2\varphi) - \\ &- \Delta\tilde{\rho}\omega_2^2 k_0^2 \cos^2\theta \sin\theta \cos\varphi]; \end{aligned} \quad (17)$$

(17)  $(\tilde{u}_2^{sc})_T = \frac{4\rho_0\pi}{21k_0|\omega_2|} [\Delta\tilde{\mu}k_0^4 \cos\theta \sin\varphi (k_0^2 - 2k_0^2 \cos^2\theta \cos^2\varphi) + \Delta\tilde{\rho}\omega_2^2 k_0^2 (1 - \cos^2\theta \cos^2\varphi)].$

В работе [6] рассмотрена трехчастотная схема Д-Э-Л эксперимента, позволяющая к оценке этих параметров.

$$(\tilde{u}_3^{sc})_T = \frac{u_0 \rho_0 \tilde{u}}{2|k_0| \omega_2^2} [-\Delta \tilde{\mu} k_0^2 \cos^2 \theta \sin \theta \sin \varphi \cos \varphi - \Delta \tilde{\rho} \omega_2^2 k_0^2 \cos \theta \sin \theta \cos \varphi],$$

где  $(\tilde{u}_1^{sc})_L$ ,  $(\tilde{u}_2^{sc})_L$ ,  $(\tilde{u}_3^{sc})_L$ ,  $(\tilde{u}_1^{sc})_T$ ,  $(\tilde{u}_2^{sc})_T$ ,  $(\tilde{u}_3^{sc})_T$  — компоненты измеренных векторов соответственно продольной и поперечной составляющих рассеянного поля в некотором направлении, определяемом углами  $\theta$  и  $\varphi$  (см. рис. 1),  $k_0 = \omega_1/c_p = \omega_2/c_s$ ,  $u$  — амплитуда падающего поля (для простоты считаем, что амплитуды облучающих продольной и поперечных плоских волн равны). Аргументы при  $\Delta \tilde{\mu}$ ,  $\Delta \tilde{\rho}$  — вида  $k_0 \cos \theta \sin \varphi - k_0$ ,  $k_0 \cos \theta \cos \varphi$ ,  $k_0 \sin \theta$ , т. е. для каждой пары значений  $\theta$  и  $\varphi$  система уравнений (17) определяет значения фурье-образов функций, описывающих неоднородность среды, в точке, лежащей на сфере Эвальда  $k^2 = k_0^2$ . Решив систему уравнений (17) для всех значений  $\theta$  и  $\varphi$ , мы получим значения фурье-образов функций  $\Delta \tilde{\mu}$ ,  $\Delta \tilde{\rho}$  на всей сфере Эвальда, соответствующей данным частотам  $\omega_1$  и  $\omega_2$  и данному направлению падения облучающих плоских продольной и поперечной волн. (Система уравнений (17) соответствует падающим плоским продольной и поперечной волнам, распространяющимся вдоль оси  $Ox$ .) Информацию о полном фурье-образе функций  $\Delta \tilde{\mu}$ ,  $\Delta \tilde{\rho}$  можно получить путем сканирования как по частоте, так и по направлению распространения облучающих плоских волн (или комбинируя эти два вида сканирования). Восстановить значения функций  $\Delta \tilde{\mu}(x)$ ,  $\Delta \tilde{\rho}(x)$ ,  $\Delta \tilde{\rho}(x)$  можно, сделав обратное преобразование Фурье функций  $\Delta \tilde{\mu}(k)$ ,  $\Delta \tilde{\rho}(k)$ ,  $\Delta \tilde{\rho}(k)$ .

#### СПИСОК ЛИТЕРАТУРЫ

- [1] Yih-Hsing Pao, Vasundara Varatharajulu. // J. Acoust. Soc. Am. 1976. 59, N 6. P. 1361—1371. [2] Kaveh M. Soumekh M., Mueller R.K. // Acoustical Imaging, Plenum Press. N. Y., 1982. V. 11. P. 325—335. [3] Adams M.H., Anderson A. P. // Acoustical Imaging, Plenum Press. N. Y., 1982. V. 10. P. 365—380. [4] Devaney A. J. // Ultrasonic Imaging, Academic Press. N. Y., 1982. V. 4. P. 336—350. [5] Wojarski N. N. // Acoustical Imaging, Plenum Press. N. Y., 1982. V. 11. P. 399—408. [6] Richardson J. M. // Ultrasonic Symposium Proc. New Orleans, 1979. N. Y., 1979. P. 356—360.

Поступила в редакцию  
16.10.85

ВЕСТН. МОСК. УН-ТА. СЕР. 3, ФИЗИКА. АСТРОНОМИЯ. 1986. Т. 27, № 6

## ФИЗИКА ТВЕРДОГО ТЕЛА

УДК 539.211

### ИССЛЕДОВАНИЕ ЭЛЕКТРОННО-СТИМУЛИРОВАННОЙ ДЕСОРБЦИИ НЕЙТРАЛЬНЫХ МОЛЕКУЛ С ПОВЕРХНОСТИ ЗОЛОТА И ПАЛЛАДИЯ

Г. Г. Федоров

(кафедра общей физики для химического факультета)

При исследовании электронно-стимулированной десорбции (ЭСД) молекул CO и CO<sub>2</sub> с поверхности окислов никеля, меди и алюминия в области энергий бомбардирующих электронов  $U = 13$  эВ нами были обнаружены [1] максимумы ЭСД, которые связаны с окислением молекул окиси углерода при возбуждении бомбардирующими электронами молекул кислорода, находящихся на поверхности окисла. При наличии атомов хрома [2] на поверхности никеля приводит к исчез-